

УДК 533.6.011 : 539.196

© 1994 г. В. Н. МАКАРОВ, О. П. ШАТАЛОВ

ГАЗОДИНАМИЧЕСКИЙ ГЕНЕРАТОР ОЗОНА

Экспериментально и теоретически исследовано образование озона при истечении из сверхзвукового сопла частично диссоциированного кислорода. Расчет сверхзвукового течения химически реагирующей газовой смеси, содержащей избыточные атомы О, выполнен в одномерном приближении для класса плоских клиновидных сопел. Показано, что при начальных давлениях газа перед входом в сопло около 10 атм, температуре $T_0 \approx 1000$ К в соплах с полным углом раствора 30° С и высотой критического сечения $h_* \approx 1$ мм удается получить концентрацию озона около 1%, что сравнимо с обычными озонаторами, но производительность такого устройства на 2—3 порядка выше. Выполненные на ударной трубе с соплом эксперименты по измерению поглощения УФ-излучения рекомбинирующими в сопле кислородом в условиях, далеких от оптимальных, показали наличие в потоке молекул озона, образующегося в рекомбинации $O + O_2$.

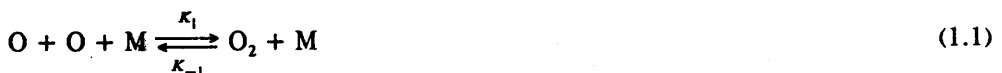
Существенной особенностью сверхзвуковых охлаждающихся потоков химически реагирующих газов является возможность получения значительных сверхравновесных концентраций продуктов реакции — эффект «закалки», основанный на падении скорости распада этих продуктов с понижением температуры и давления газа. Этот эффект, в частности, используется на практике в плазмохимических реакторах для производства окислов азота. В данной работе исследуется возможность использования сверхзвуковых сопел для производства озона.

Обычно озон получают в проточных разрядных системах (озонаторах), где он образуется в результате рекомбинации частично диссоциированного в разряде кислорода (см., например, [1]). При всех достоинствах этого метода (простота, экономичность) остается вопрос повышения выхода молекул O_3 на единицу начальной массы газа (кислорода, воздуха, смесей кислорода с инертным разбавителем) и вопрос повышения производительности озонатора. Целенаправленное газодинамическое управление параметрами потока с использованием профилированных сопел открывает здесь дополнительные возможности. В частности, в [2] было показано, что при охлаждении в сверхзвуковом сопле частично диссоциированного кислорода при температурах порядка 1000 К образуется озон в концентрациях, на много порядков превышающих равновесные. Абсолютные концентрации озона, оцененные в этой работе, не превышали, однако, 10^{13} частиц/ cm^3 , что значительно уступает концентрациям, получаемым в обычных условиях. В [3] была поставлена и теоретически решена задача оптимизации сверхзвуковой части сопла и параметров газа перед ним с целью получения максимального выхода озона при условии равновесного разогрева кислорода в смеси с инертным разбавителем перед входом в сопло. Хотя оцененные в этой работе концентрации озона достигали 10^{15} — 10^{16} частиц/ cm^3 , одновременно стало очевидным, что получить выход озона по такой схеме более 0,1% затруднительно. Это связано с тем, что при низкой начальной температуре газовой смеси мала исходная равновесная концентрация атомов О и, как следствие, мала относительная концентрация образующихся молекул O_3 , а при высоких температурах затруднен процесс образования озона.

В данной работе рассматривается ситуация, при которой сохраняется возмож-

ность управлять характеристиками потока с помощью профицированного сопла, но одновременно на входе в сопло или в его сверхзвуковой части создается избыточная концентрация атомов О (например с помощью электрического разряда). Ставится задача поиска оптимальных концентраций атомов О, которые обеспечивают максимальный выход озона. Одновременно в работе предпринята попытка в эксперименте на ударной трубе обнаружить озон, образующийся в сверхзвуковом охлаждающемся потоке частично диссоциированного кислорода.

1. Использованная в расчетах кинетическая модель учитывала процессы рекомбинации кислорода с образованием молекул O_2 и O_3 и обменные реакции с участием атомов и молекул кислорода и озона



Здесь $M = O, O_2, O_3, Ar$.

Колебательная релаксация молекул O_2 и O_3 , протекающая быстрее процессов рекомбинации, предполагалась завершенной, т. е. химические реакции (1.1)–(1.3) рассматривались для колебательно-равновесных молекул. Для молекул O_2 это предположение оправданно и подтверждается экспериментами по исследованию рекомбинации кислорода в соплах [4, 5]. Что касается озона, то при рекомбинации он образуется в колебательно-возбужденном состоянии, его релаксация (дезактивация) является многоступенчатым процессом, а сами молекулы озона составляют малую примесь в среде другого газа. Поэтому вопрос о релаксации O_3 и наличии у этих молекул колебательной температуры требует специального рассмотрения. Однако в силу малости концентрации O_3 ответ на этот вопрос, т. е. обоснованность предположения о колебательной равновесности O_3 , не оказывает существенного влияния на термодинамику рассматриваемых процессов.

Константы скорости реакций (1.1)–(1.3) выбирались на основании рекомендаций обзоров [6–12], при необходимости уточненных в соответствии с более поздними экспериментальными данными. Они представлены в обобщенной арениусовской форме $K = AT^n \exp(-E/T)$ и параметры A , n , E , а также точность приводимой рекомендации $\Delta \lg K$ даны в табл. 1.

Константы скорости реакций рекомбинации имеют размерность $\text{см}^6/\text{моль}^2 \cdot \text{с}$, остальные константы имеют размерность $\text{см}^3/\text{моль} \cdot \text{с}$. В табл. 1 указан также температурный интервал, для которого рекомендовано приводимое выражение для константы скорости реакции. Энергии активации E даны в тысячах градусов Кельвина. В Примечаниях к табл. 1 дана дополнительная информация о константах и некоторые данные о входящих в них параметрах.

При расчете неравновесных течений приходится проводить численное интегрирование кинетических уравнений, описывающих изменение концентраций компонент смеси газов. Вблизи равновесия эти уравнения, как правило, являются уравнениями с малым параметром при старшей производной. В данной работе для интегрирования исходных уравнений использовался многошаговый метод Гира с использованием пакета STIFF [16]. Предполагалось, что газ состоит из N компонент, которые участвуют в M реакциях типа

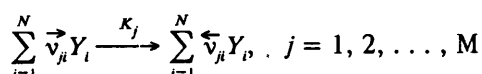


Таблица 1

Реакция	M	K ₊					
		T · 10 ³ K	A	n	E	Δ lg K	Примечания
1	Ar	0,19—4	1,9 · 10 ¹³	0	-900	0,18—0,3	1
	O ₂	0,3—4	1,5 · 10 ¹⁶	-0,41	0	0,23	2
	O	0,3—4	5,34 · 10 ¹⁶	-0,41	0	0,18	3
	O ₃	0,19—4	1,3 · 10 ¹⁴	0	-900	0,8	4
	Ar	0,22—1	7,2 · 10 ¹⁸	-1,9	0	0,1—0,2	5
		1—3	4,1 · 10 ¹²	0	-1057	—	6
	O ₂	0,22—1	2,0 · 10 ¹⁹	-2	0	0,1—0,2	7
		1—3	1,1 · 10 ¹⁹	-1,9	0	—	8
	O	0,22—1	7,2 · 10 ¹⁹	-1,9	0	0,4	4, 9
	O ₃	0,22—1	5,0 · 10 ¹⁹	-1,9	0	0,6	4
2		1—3	4,1 · 10 ¹³	0	-1057	—	
		1—3	2,8 · 10 ¹³	0	-1057	—	
3		0,22—1	1,2 · 10 ¹³	0	2280	0,1—0,3	10

Реакция	M	K ₋					
		T · 10 ³ K	A	n	E	Δ lg K	Примечания
1	Ar	0,3—18	1,8 · 10 ¹⁸	-1	59 380	0,3	11
	O ₂	2,5—10	9,8 · 10 ²⁴	-2,5	59 380	0,3	12
		0,3—2,5	2,2 · 10 ¹⁶ · B	0	59 380	0,3	13
	O	2,5—8	3,5 · 10 ²⁵	-2,5	59 380	0,3	12
		0,3—4	7,8 · 10 ¹⁶ · B	0	59 380	0,3	13
	O ₃	0,3—10	1,2 · 10 ¹⁹	-1	59 380	1,0	4
	Ar	0,2—3	2,48 · 10 ¹⁴	0	11 430	0,1	14
	O ₂	0,3—3	1,54 · 10 ¹⁴	0	11 600	—	15
	O	0,2—3	2,48 · 10 ¹⁵	0	11 430	—	4, 9
	O ₃	0,3—3	4,4 · 10 ¹⁴	0	11 600	0,2	16
3		0,22—1	1,1 · 10 ¹³	0	49 800	—	17

Примечания к табл. 1

1. Рекомендация [6].

2. Результат [4].

3. Результат [5].

4. Константа скорости получена как результат осреднения литературных данных [6—9] об относительных эффективностях различных частиц M в реакциях диссоциации-рекомбинации. На основании такого осреднения константы скорости диссоциации и рекомбинации кислорода и озона при взаимодействии с многодатовыми газами в 6,9 раз превышают соответствующие константы при M = Ar. Точность этой оценки — множитель 3 (по разбросу имеющихся экспериментальных данных).

5. Рекомендация [10] для T = 219—368 K; сравнение с [11] указывает на возможность использования этой рекомендации до 1000 K.

6. Оценка [6], экстраполированная на область T > 1000 K.

7. Рекомендация [12] для T = 200—300 K, экстраполированная до T = 1000 K.

8. Пересчет через константу равновесия экстраполированной константы скорости обратной реакции K₋₂.

9. На основании анализа относительных эффективностей частиц в реакциях диссоциации-рекомбинации эффективность атомов O принята в 10 раз превышающей эффективность M = Ar (с точностью до множителя 2).

10. Рекомендация [11]. Допустима экстраполяция в область T > 1000 K.

11. Рекомендация [6]. С точностью до множителя 2 возможна экстраполяция в область низких температур (до 300 K).

12. Рекомендация [6].

13. Экстраполяция в область низких температур, согласованная с данными об обратной реакции, $B = 1 - \exp(-2240/T)$.

14. Рекомендация [6] для диапазона $T = 200$ — 1000 К. Этому же диапазону температур соответствует и указанная точность рекомендации. При $T = 1000$ — 3000 К приводимое выражение для K_2 может давать завышенные в 2—3 раза значения по сравнению с экспериментом в связи с колебательной неравновесностью диссоциирующих молекул Оз (см. [8]).

15. Константа получения как результат осреднения литературных данных [6, 8] об эффективности молекул О₂ в диссоциации озона: в среднем эффективность М = О₂ составляет 0,3—0,4 от эффективности М = Оз.

16. Рекомендация [13], уточненная по данным [14, 15].

17. Скорость реакции мала, экспериментальные данные о ней отсутствуют, в большинстве случаев реакцию можно не учитывать. Здесь приводится результат пересчета константы скорости обратной реакции через константу равновесия.

где K_i — константа скорости реакции, Y_i — исходные вещества и продукты реакции. (Везде далее при обозначении компонент газовой смеси индексы $i = 1, 2, 3, 4$ будут относиться к частицам О, О₂, О₃ и Ar.)

Если для определения количественной характеристики данного вещества использовать мольно-массовые концентрации c_i , то исходная система уравнений движущегося газа примет вид (для одномерного установившегося потока)

$$\frac{dp}{\rho} + \frac{du}{u} + \frac{ds}{s} = 0, \quad \rho u \cdot \frac{du}{dx} + \frac{dp}{dx} = 0$$

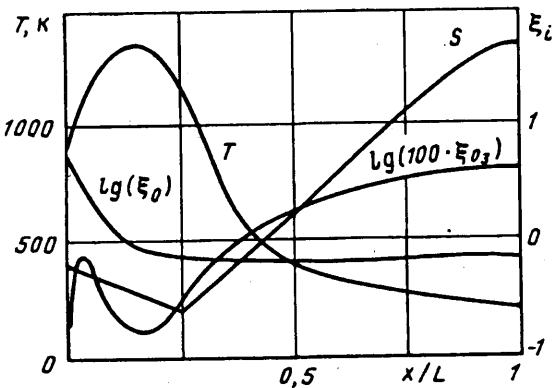
$$\sum_{i=1}^N c_i H_i + \frac{u^2}{2} = \text{const}, \quad p = \rho R T \sum_{i=1}^N c_i$$

$$\frac{dc_i}{dt} = u \frac{dc_i}{dx} = \frac{1}{\rho} \sum_{j=1}^M K_j \beta_j \prod_{k=1}^N (pc_k)^{\gamma_{jk}}$$

Здесь N — число компонент, M — количество учитываемых реакций, t — время, x — координата вдоль по потоку; p , T , ρ , u — давление, температура, плотность и скорость газового потока, R — универсальная газовая постоянная, H_i — молярная энталпия i -той компоненты, \vec{v}_j , \vec{v}_{ji} — стехиометрические коэффициенты реакции в прямом и обратном направлении, $\beta_j = \vec{v}_{ji} - \vec{v}_j$, s — сечение сопла. В созданной программе работает генератор уравнений химической кинетики, где предусмотрено формирование правых частей кинетических уравнений по символической записи реакций в виде обычной молекулярной формулы реакций.

Проблемы, связанные с определением расхода газа и прохождением особой точки типа седла, преодолеваются следующим образом. Сначала при некоторой заданной скорости u_0 решается прямая задача для заданного контура. В области критического сечения решается обратная задача сопла Лаваля при заданной скорости потока $u_{ef}(x)$. Получающееся значение контура сопла $s_{ef}(x)$ при этом запоминается. Значение u_0 и зависимость $u_{ef}(x)$, вообще говоря, отличаются от истинных значений и поэтому в районе критики получающийся контур $s_{ef}(x)$ отличается от истинного контура $s(x)$. Согласие достигается в процессе подгонки получающегося контура $s_{ef}(x)$ к истинному $s(x)$.

При решении задачи оптимизации рассматривался класс плоских клиновидных сопел с углом полураскрытия θ , критическим сечением h_* и длиной L . Предполагалось, что после расширения в таком сопле газовый поток поступает в плоскопараллельный канал длиной L_1 и на стыке сопла с плоским каналом контур закруглялся для того, чтобы не возникали ударные волны в плоском канале. Рассматривается задача оптимизации с целью получения максимальных значений молярной доли озона ξ_3 . Если рассматривать фиксированный набор значений начального давления p_0 , то параметрами оптимизации будут величины ξ_1 , ξ_2 , T_0 , α , L , L_1 , где ξ_1 , ξ_2 — молярные доли О и О₂ перед входом в сопло (точнее, в некоторой дозвуковой точке сопла), T_0 — начальная температура, $\alpha = \tan \theta / (h_* / 2)$. Если присутствует инертная компонента (например, аргон), то



Фиг. 1

$\xi_4 = 1$ — ξ_i — ξ_2 . Дозвуковая часть не оптимизировалась и рассматривалась фиксированный контур с углом сужения $\operatorname{tg} \theta / (h_* / 2) = 1$. Поиск оптимума осуществляется методом конфигураций [17].

В табл. 2 приведены результаты решения указанной выше задачи оптимизации. Здесь для фиксированных значений начального давления $5 \text{ атм} \leq p_0 \leq 50 \text{ атм}$ приведены оптимальные значения параметров и максимальное значение концентрации озона ξ_3 . Вместо оптимального значения L в табл. 2 приведены значения степени расширения потока A на выходе из сопла (равное для клиновидного сопла $A = \alpha L + 1$). Оптимальные значения L лежат в диапазоне $L \approx 2,75 + 3,00 \text{ см}$. Результаты показывают, что существует абсолютный оптимум $\xi_3 = 0,415\%$ при давлении $p_0 \approx 7,25 \text{ атм}$. Длина плоского канала L_1 была ограничена условием $L_1 \leq 300 \text{ см}$, и поиск оптимума показал, что для всех значений давления p_0 оптимум $L_1 = L \approx 300 \text{ см}$.

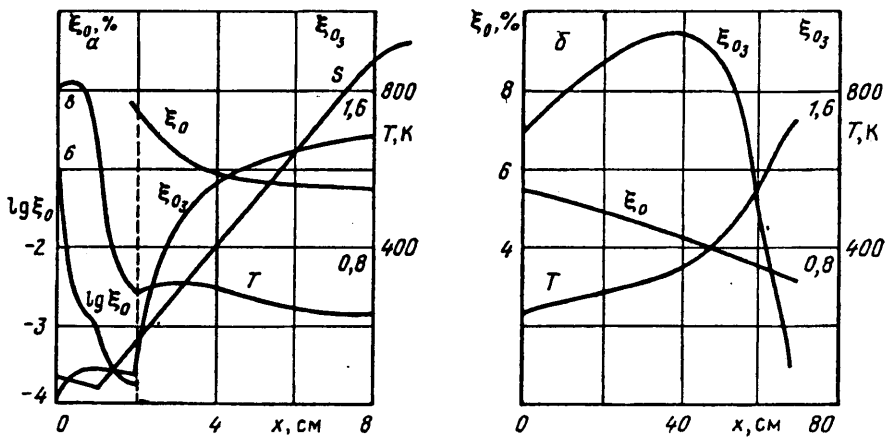
На фиг. 1 приведены распределения ξ_i , ξ_3 и T вдоль сопла при оптимальных начальных условиях и при $p_0 = 10 \text{ атм}$ (смесь $11,14\% \text{ O}_2 + 5,043\% \text{ O} + 83,82\% \text{ Ar}$, $T_0 = 941 \text{ К}$, $\alpha = 2,13 \text{ см}^{-1}$, $L = 2,87 \text{ см}$, $L_1 = 297 \text{ см}$). Здесь же приведена площадь сопла в относительных единицах (за единицу принято сечение в геометрической критике). Наличие относительно большого начального количества атомарного кислорода $\xi_i = 5,043\%$ приводит к росту количества молекул O_3 в начальном (дозвуковом) сечении сопла. Однако одновременно с этим рекомбинация $\text{O} + \text{O} + \text{M} \rightarrow \text{O}_2 + \text{M}$ и $\text{O} + \text{O}_2 + \text{M} \rightarrow \text{O}_3 + \text{M}$ приводят к росту поступательной температуры T и образовавшийся озон начинает распадаться. Таким образом, в дозвуковом сечении сопла возникает локальный максимум по концентрации O_3 . В сверхзвуковой части сопла за счет быстрого падения температуры в расширяющемся потоке относительная концентрация O_3 начинает вновь возрастать.

В плоском канале газодинамические переменные практически не меняются, однако концентрация озона продолжает возрастать почти на порядок.

Таким образом, для увеличения концентрации озона требуются избыточные

Таблица 2

$p_0, \text{ атм}$	$\text{O}_2, \%$	$\text{O}, \%$	$T_0, \text{ К}$	$a, \text{ см}^{-1}$	A	$\text{O}_3, \%$
5,0	26,6	2,4	846	1,96	6,82	0,38
7,25	12,2	1,9	937	2,00	7,00	0,415
10,0	9,4	2,1	941	2,13	7,11	0,40
25,0	3,6	1,94	1190	2,53	7,95	0,285
50,0	3,9	1,97	1680	3,24	9,94	0,2



Фиг. 2

атомы О. Однако процесс рекомбинации приводит к повышению температуры T и, как следствие, к уменьшению концентрации O_3 . Поэтому лишь организованное определенным образом охлаждение (в данном случае соплом) позволяет увеличить концентрацию O_3 . Наибольшие отрицательные градиенты температуры в сопле достигаются в его сверхзвуковой части, поэтому правомерным становится рассмотрение задачи, когда атомы О появляются (например, в разряде) в сверхзвуковой части сопла. При этом в математической постановке к перечисленным выше параметрам оптимизации ξ_1 , ξ_2 , T_0 , α , L , L_1 следует добавить величины l и ξ_1' , где l — расстояние от геометрической критики, на котором расположен скачок концентраций частиц О и O_2 , ξ_1' — молярная доля атомов О непосредственно за скачком. При этом на скачке выполняются условия

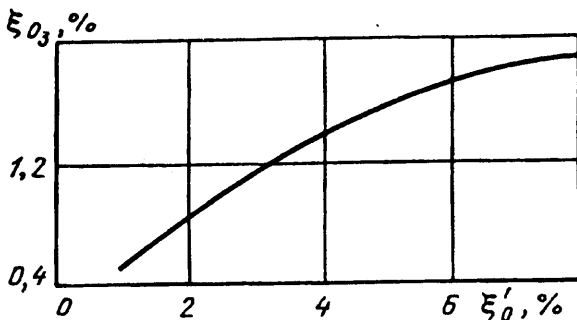
$$\alpha_1 + \alpha_2 = \alpha_1' + \alpha_2', \quad \alpha_1' \geq \alpha_1$$

Здесь α_1 , α_2 , α_1' , α_2' — массовые доли компонент до и после скачка.

Результат оптимизации такой задачи при начальном давлении $p_0 = 10$ атм приводит к следующему результату: $\xi_2 = 92,14\%$, $\xi_1 = 0,22\%$, $T_0 = 827$ К, $\alpha = 4,64$ см⁻¹, $L = 7,84$ см, $L_1 = 39,1$ см, $l = 0,97$ см, $\xi_1' = 7,86\%$. При этом оптимальное значение мольной доли озона $\xi_3 = 1,905\%$.

На фиг. 2 показаны распределения основных характеристик в этом оптимальном случае вдоль сопла (а) и плоского канала (б). Введение скачка (координата скачка отмечена штриховой линией) позволяет почти в 5 раз увеличить оптимальную концентрацию O_3 по сравнению со случаем, когда такой скачок отсутствует (см. фиг. 1). При этом большие концентрации O_3 удается получать уже в сопле ($\sim 1,4\%$). В плоском канале концентрация O_3 увеличивается до $1,9\%$, однако увеличение длины плоского канала по сравнению с оптимальной приводит к сильному уменьшению значений ξ_3 (из-за разогрева потока). Дальнейшего увеличения концентрации ξ_3 можно добиться при последующем расширении потока после оптимальной длины L_1 , что сводится к определению более сложной оптимальной формы «сопло + канал».

Представляет интерес мера уменьшения концентрации O_3 при отклонении ξ_1' от оптимального, поскольку создание скачков с большими значениями ξ_1' на практике может встретить определенные трудности. На фиг. 3 приведена зависимость ξ_3 от ξ_1' (остальные параметры оптимальные и соответствуют фиг. 2). При уменьшении значений ξ_1' величина ξ_3 падает не линейно, что делает интересными результаты с более «слабым» скачком.



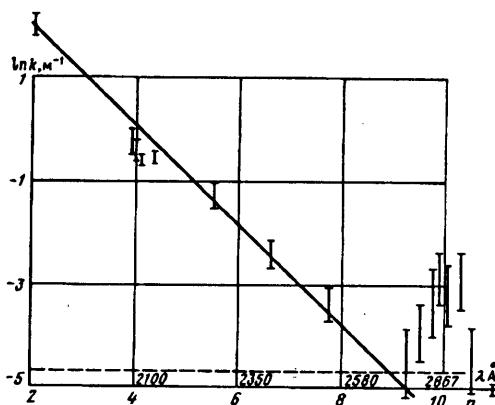
Фиг. 3

2. Эксперименты по регистрации озона, образующегося при истечении из сверхзвукового сопла частично диссоциированного кислорода, выполнялись на ударной трубе с внутренним диаметром 493 мм, в торце которой было установлено плоское клиновидное сопло с отражающей стенкой. Область перед соплом фактически представляет собой форкамеру, содержащую неподвижный газ с параметрами, соответствующими параметрам волны, отраженной от стенки сопла. Эти параметры рассчитывались стандартными методами и являлись входными параметрами при проведении и обработке соплового эксперимента. Подробности работы с установкой описывались ранее в [18]: в частности, на ней были выполнены исследования процесса рекомбинации кислорода $O + O + M \rightarrow O_2 + M$ [4, 5]. Здесь укажем лишь, что использованное в работе плоское клиновидное сопло имело полный угол раскрытия $2\theta = 15^\circ$, высоту критического сечения $h_* = 4$ мм и входной конфузорный профиль с радиусом скругления $R = 8$ мм.

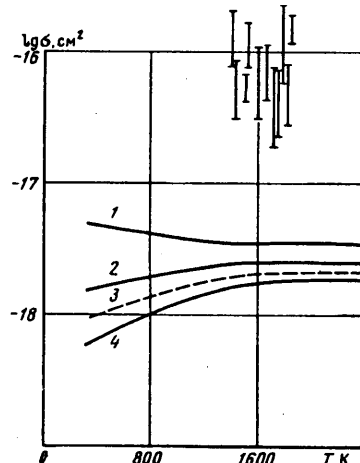
Как и в предыдущих работах, для зондирования и регистрации молекул образующихся в процессе рекомбинации, была использована абсорбционная методика. Источником зондирующего излучения служила кварцевая лампа высокого давления ДКСШ-1000, наполненная ксеноном. Излучение лампы проходило сквозь окна (щели) в стенках ударной трубы, просвечивало сопло в некотором его сечении, требуемый диапазон длин волн выделялся монохроматором ЗМР, далее излучение поступало на вход фотоумножителя типа ФЭУ-99 и с него передавалось в память регистратора типа DATALAB. Доля света, поглощенный потоком газа в сопле, определялась в соответствии с законом Бэра $J/J_0 = \exp(-kl)$, где J_0 и J — интенсивности исходного и прошедшего сквозь поток излучения, k — коэффициент поглощения среды, зависящий от концентрации поглощающих частиц и их сечения поглощения, l — длина оптического пути в поглощающей среде, в данном случае 49,3 см.

Равновесный по колебаниям озон имеет максимум поглощения в области $\lambda = 255$ нм (полосы Хартли), в то время как при рекомбинации образуется существенно колебательно-возбужденный озон с максимумом в спектре поглощения в области $\lambda = 286,6$ нм ($v \gg 1$) [19]. В связи с этим было предпринято систематическое измерение коэффициента поглощения k потоком рекомбинирующего кислорода в широком диапазоне длин волн: $200 \leq \lambda \leq 290$ нм. Режим работы ударной трубы выбирался постоянным $v_s = 1550 \pm 30$ м/с, $p_s = 0,08 \pm 0,005$ атм, что соответствует параметрам газа перед входом в сопло $p_s = 1,36$ атм и $T_s = 02390$ К. Наблюдение поглощения велось на расстоянии $x = 73$ мм вниз по потоку от критического сечения сопла.

Полученная зависимость коэффициента поглощения k от длины волны λ представлена на фиг. 4. Исследуемый газ — чистый кислород. Видно, что с ростом длины волны (номера n колебательного уровня кислорода) поглощение монотонно падает и в области $\lambda = 265$ нм ($n \cong 9$) становится ниже порога чувствительности аппаратуры, отмеченного на фигуре штриховой линией. Наблюдаемые при этом значения эффективных сечений поглощения кислорода точно соответствуют измерявшимся ранее [20]. Тем не менее с увеличением длины



Фиг. 4



Фиг. 5

волны в области $\lambda = 286$ нм наблюдается пик поглощения, более чем на порядок превышающий порог чувствительности аппаратуры. Этот пик естественно связать с озоном, образующимся в рекомбинации ($n_3 = 5,9 \cdot 10^{11} \text{ см}^{-3}$) и имеющим максимум поглощения в этой области. Поглощение молекулярного кислорода в этом же диапазоне длин волн ($\lambda = 286$ нм) в 440 раз меньше наблюдаемого в эксперименте.

В связи с этим наблюдением была выполнена вторая серия экспериментов, в которой входное давление газа перед соплом было существенно увеличено ($p_s = 13,4$ атм, $T_s = 2700$ К), что позволило более чем на порядок увеличить коэффициент поглощения при $\lambda = 286$ нм. Наблюдения в этой серии экспериментов проводились в сечении сопла $x = 80$ мм. Концентрация озона в этом сечении составляет $(1-3) \cdot 10^{13} \text{ см}^{-3}$. Результаты измерений эффективных сечений поглощения $\sigma = k/n_3$ представлены на фиг. 5 в виде вертикальных полос, характеризующих ошибку эксперимента. Здесь же представлены полученные с помощью данных работы [21] значения эффективного сечения поглощения, рассчитанные в зависимости от температуры для различных длин волн (кривым 1, 2, 3, 4 соответствуют сечения поглощения, при $\lambda = 255, 280, 286,7$ и 290 нм), в том числе для основного состояния озона ($\lambda = 255$ нм, кривая 1) и для наблюданного в данных экспериментах перехода ($\lambda = 286$ нм, кривая 3). Кривые построены для условий термодинамического равновесия в газе, экспериментальные точки отнесены к поступательной температуре газа в заданном сечении сопла. Из фиг. 5 видно, что наблюданное поглощение на два порядка превышает равновесное и может быть объяснено лишь сильным колебательным возбуждением образующегося при рекомбинации озона.

Наблюданное в эксперименте поглощение указывает на наличие в сверхзвуковом потоке значительных концентраций молекул озона в возбужденном колебательном состоянии, соответствующем переходам в спектре поглощения в области длин волн $\lambda = 286$ нм. Эти эксперименты выполнялись в условиях, далеких от оптимальных. Выполненные в первой части настоящей работы расчеты показывают, что оптимизация профиля сопла, начальных условий нагрева газа и характеристик разряда, обеспечивающего скачок концентрации атомарного кислорода в потоке, могут существенно повысить выход озона, доведя его до единиц процента. Сопла, используемые при этом, достаточно просты (близкий к оптимальному параметр $\alpha \approx 1-2 \text{ см}^{-1}$ соответствует достаточно мягким условиям, например при $2\theta \approx 30^\circ$ высота критического сечения $h_* \cong 1 \text{ мм}$), вместе с тем абсолютные концентрации озона могут быть достаточно большими. Скорость

потока газа в сопле в районе критического сечения около 500 м/с, начальное давление газа перед входом в сопло 10 атм, тогда как в обычном озонаторе соответствующие параметры близки к 10 м/с и 1 атм. Поэтому при равных критических размерах конструкции и близких значениях выхода озона на единицу массы газа производительность озонатора на базе сверхзвукового сопла оказывается на 2–3 порядка выше.

При переходе от плоского клиновидного сопла к плоскопараллельному каналу в потоке возможно возникновение ударных волн, которые могут сорвать процесс образования озона. Используемый в данной работе одномерный расчет, естественно, не учитывает этого эффекта, как и ряда других, например нарастания пограничного слоя на стенках сопла и канала. Это, однако, не меняет существа полученного результата, состоящего в демонстрации принципиальной возможности увеличения концентрации озона вдоль канала, поскольку при практической реализации газодинамических устройств существует множество способов преодоления указанных технических трудностей: профилирование сопла — канал в зависимости от числа Маха потока, изготовление сопловых решеток, профилирование самого канала и т. д.

Аналогичное замечание следует сделать по поводу рассмотренного в данной работе мгновенного перевода части молекулярного кислорода в атомарный для его последующего превращения в озон. Такой скачок должен, вообще говоря, сопровождаться разрывом и других характеристик потока. Это, однако, не должно изменить вывода о возможности получения значительных концентраций озона с помощью сверхзвукового сопла, поскольку указанный фактор может быть учтен при оптимизации выхода озона и, вероятнее всего, не приведет к существенным изменениям в результатах расчетов, тем более что введение дополнительных атомов кислорода в поток возможно и без образования сильных скачков, например с помощью впрыска от внешнего источника, организации слабого тлеющего разряда и т. п.

Работа по регистрации озона в сопле ударной трубы выполнялась при участии И. Е. Забелинского, которому авторы выражают свою благодарность.

СПИСОК ЛИТЕРАТУРЫ

1. Филиппов Ю. В., Вобликова В. А., Пантелеев В. И. Электросинтез озона. М.: Изд-во МГУ, 1987. 237 с.
2. Душин В. К., Забелинский И. Е., Шаталов О. П. Способ получения сверхравновесных концентраций озона. А. с. № 1230126 СССР//Б. И. 1986. № 48. С. 288.
3. Кривоносова О. Э., Макаров В. Н., Шаталов О. П. Образование озона в сверхзвуковом охлаждающемся потоке//Физико-химическая кинетика в газовой динамике. М.: Изд-во МГУ, 1986. С. 122–125.
4. Душин В. К., Забелинский И. Е., Шаталов О. П. Рекомбинация кислорода в сверхзвуковом охлаждающемся потоке//Изв. АН СССР. МЖГ. 1987. № 4. С. 160–165.
5. Забелинский И. Е., Шаталов О. П. Экспериментальное определение константы скорости рекомбинации кислорода с участием атомов кислорода в качестве третьего тела//Изв. АН СССР. МЖГ. 1988. № 1. С. 188–189.
6. Baulch D. L., Drysdale D. D., Duxbury J., Grunt S. L. Evaluated kinetic data for high temperature reactions. V. 3. London: Butterworths, 1976. 593 p.
7. Baulch D. L., Drysdale D. D., Horne D. G. Evaluated kinetic data for high temperature reactions. V. 2. London: Butterworths, 1973. 557 p.
8. Кривоносова О. Э., Лосев С. А., Наливайко В. П., Шаталов О. П. Рекомендуемые данные по кинетике химических реакций в системе соединений атомов N—O//Физико-химическая кинетика в газовой динамике. М.: Изд-во МГУ, 1986. С. 5–66.
9. Гардинер У., мл., Диксон-Льюис Г., Целнер Р. и др. Химия горения. М.: Мир, 1988. 461 с.
10. Baulch D. L., Cox R. A., Crutzen P. J. et al. Evaluated kinetic and photochemical data for atmospheric chemistry: Suppl. 1//J. Phys. Chem. Ref. Data. 1982. V. 11. № 2. P. 327–496.

11. *Baulch D. L., Cox R. A., Hampson R. F. et al.* Evaluated kinetic and photochemical data for atmospheric chemistry//J. Phys. Chem. Ref. Data. 1980. V. 9. № 2. P. 295—471.
12. *Baulch D. L., Cox R. A., Hampson R. F. et al.* Evaluated kinetic and photochemical data for atmospheric chemistry: Suppl. 2//J. Phys. Chem. Ref. Data. 1984. V. 13. № 4. P. 1259—1380.
13. *Heimerl J. M., Coffee T. P.* The unimolecular ozone decomposition reaction//Combust. and Flame, 1979. V. 35. № 2. P. 117—123.
14. Лунин Б. С., Тимофеев В. В., Житнев Ю. Н. Импульсный пиролиз озона, сенсибилизированный колебательно-возбужденным SF₆//Тез. докл. 12-й Всесоюз. конф. по когерентной и нелинейной оптике, Москва, 1985. М., 1985. С. 665—666.
15. Лунин Б. С., Курчева О. В., Житнев Ю. Н. Определение параметров Аррениуса реакции термического разложения озона, инициированной излучением импульсного инфракрасного лазера//Журн. физ. химии. 1986. Т. 60. № 8. С. 2050—2053.
16. Полак Л. С., Гольденберг М. Я., Левицкий А. А. Вычислительные методы в химической кинетике. М.: Наука, 1984. 280 с.
17. Уайлд Д. Дж. Методы поиска экстремума. М.: Наука, 1967. 267 с.
18. Забелинский И. Е., Лосев С. А., Шаталов О. П. Некоторые вопросы методики проведения физического эксперимента на ударной трубе с соплом//Инж.-физ. журн. 1985. Т. 48. № 3. С. 357—364.
19. Hochanadel C. J., Ghormley J. A., Boyle J. W. vibrationally excited ozone in the pulse radiolysis and flash photolysis of oxygen//J. Chem. Phys. 1968. V. 48. № 6. P. 2416—2420.
20. Душин В. К., Забелинский И. Е., Шаталов О. П. Эффективные сечения поглощения УФ излучения молекулами O₂ в широком интервале температур//Журн. прикл. спектроскопии. 1983. Т. 39. № 3. С. 440—444.
21. Егорова Г. В., Попович М. П., Филиппов Ю. В. Колебательная температура озона, образующегося в тихом электрическом разряде//Журн. физ. химии. 1977. Т. 51. № 2. С. 474—475.

Москва

Поступила в редакцию
3.VI.1993